

NOTAS DE AULA DO  
PICME  
PROGRAMA DE INICIAÇÃO CIENTÍFICA E MESTRADO  
EM  
COMBINATÓRIA

<http://www.ime.usp.br/~tcco/picme>

*Anotado por: Fabrício Caluza Machado e Henrique Stagni*

*2º semestre de 2015*

## Conteúdo

<b>1</b>	<b>Aplicações de Topologia à Combinatória</b>	<b>1</b>
1.1	Dois problemas . . . . .	2
1.2	<i>The Ham Sandwich Theorem</i> . . . . .	3
1.3	Conjectura de Kneser . . . . .	6
<b>2</b>	<b>Centro de Massa e Aplicações em Geometria</b>	<b>6</b>
2.1	Sistemas de Massas . . . . .	7
<b>3</b>	<b>Conjectura de Kneser</b>	<b>9</b>
3.1	Demonstração de Lovász para Conjectura de Kneser . . . . .	9
3.2	Prova de Bárány ('78) para Conjectura de Kneser . . . . .	11
3.3	Teorema de Schrijver . . . . .	13
<b>4</b>	<b>Ultrafiltros e o Teorema de Hindman</b>	<b>13</b>
4.1	Teoria de Ramsey . . . . .	13
4.2	Ultrafiltros . . . . .	15
4.3	Ultrafiltros e topologia . . . . .	16
4.4	Teorema de Hindman . . . . .	17
<b>5</b>	<b>O teorema de Fermat sobre a soma de dois quadrados</b>	<b>18</b>
<b>6</b>	<b>Provas da infinidade de primos</b>	<b>20</b>
<b>7</b>	<b>Teorema de Hoffman e Singleton</b>	<b>21</b>

## 1 Aplicações de Topologia à Combinatória

◇ ◇ ◇

*Aula 1(18 de Agosto) — Yoshiharu Kohayakawa*

◇ ◇ ◇

A seguir, veremos dois problemas geométricos e de combinatória que podem ser resolvidos com o auxílio de um teorema de topologia.

*posição geral*

Em ambos os problemas, usaremos o conceito de *posição geral*. Um conjunto de pontos  $A \subset \mathbb{R}^d$  está em posição geral se não contém  $d + 1$  pontos em um mesmo hiperplano (em particular, se  $|A| > d$ , então  $A$  não contém três pontos colineares, nem quatro coplanares, etc).

### 1.1 Dois problemas

#### (1) Partições arco-íris.

Seja  $A \subset \mathbb{R}^d$  um conjunto de  $nd$  pontos em posição geral. Suponha que esses pontos estão coloridos com  $n$  cores distintas e que cada cor aparece  $n$  vezes. Em outras palavras, suponha que particionamos  $A$  em conjuntos  $A_1, \dots, A_d$ , dois a dois disjuntos, com  $|A_i| = n$  para todo  $i$ .

*partição arco-íris*

**Teorema 1.1** (Akiyama & Alon '89). *Nas condições acima,  $A$  admite uma partição arco-íris, isto é, uma partição  $\{V_1, \dots, V_n\}$  tal que*

- i)  $|V_j| = d$ , para todo  $j$ ;
- ii)  $\text{conv}(V_i) \cap \text{conv}(V_j) = \emptyset$ ;
- iii)  $|A_i \cap V_j| = 1$ .



Figura 1: Um exemplo com  $d = 2$  e  $n = 4$ .

#### (2) Colares.

Considere um colar aberto com  $d$  tipos de pedras, sendo que há um número par de pedras de cada tipo. Dois ladrões querem dividir o colar em duas partes justas (com mesmo número de pedras de cada tipo em cada parte) minimizando o número de cortes no colar.

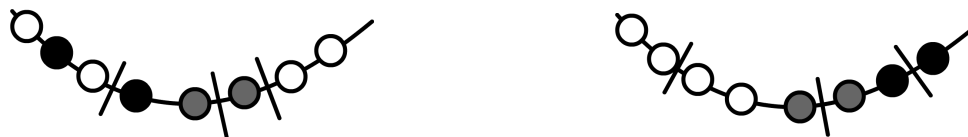


Figura 2: Dois exemplos. À direita, vemos que se as pedras de mesmo tipo estiverem agrupadas,  $d$  cortes são necessários.

**Teorema 1.2** (T. Goldberg & West '85). *Se um colar aberto tem  $d$  tipos de pedra, então  $d$  cortes são suficientes para dividir o colar em duas partes justas.*

Deixamos como exercício para o leitor encontrar uma prova puramente combinatorial para essa proposição no caso  $d = 2$ .

É possível generalizar a proposição para  $l$  ladrões, alterando o número de cortes e o requerimento de que existem um número par de pedras de cada tipo para um múltiplo de  $l$ .

Vejamos agora um teorema de topologia usado na resolução destes dois problemas.

## 1.2 The Ham Sandwich Theorem

A versão informal, que dá nome ao teorema, é a seguinte. Suponha que você tem um sanduíche de presunto, formado por duas fatias de pão e uma fatia de presunto. Independente de como esteja montado o sanduíche, é possível dividi-lo em duas partes iguais (a mesma quantidade de cada fatia de pão e de presunto em cada parte) com apenas um corte.

Mais formalmente, sejam  $\mu_1, \dots, \mu_d$   $d$  medidas finitas sobre  $\mathbb{R}^d$  (isto é,  $\mu_i(\mathbb{R}^d) < \infty$  para todo  $i$ ), com todo aberto de  $\mathbb{R}^d$   $\mu_i$ -mensurável.

Como exemplo de medida finita, considere um compacto  $A \subset \mathbb{R}^d$  e faça  $\mu_A(X) = \lambda^{(d)}(X \cap A)$  para todo  $X$  boleano, onde  $\lambda^{(d)}$  é a medida de Lebesgue usual.

**Teorema 1.3** (*Ham Sandwich Theorem*). *Sejam  $\mu_1, \dots, \mu_d$  medidas finitas sobre  $\mathbb{R}^d$ , com todo aberto de  $\mathbb{R}^d$   $\mu_i$ -mensurável, tais que para qualquer hiperplano  $H \subset \mathbb{R}^d$  temos  $\mu_i(H) = 0$ ,  $\forall i$ . Então existe um hiperplano  $h$  tal que  $\mu_i(h^+) = \frac{1}{2}\mu_i(\mathbb{R}^d)$ ,  $\forall i$ , onde  $h^+$  é um dos semi-espaço fechados definidos por  $h$ .*

*Demonstração.* Seja  $\mathbf{u} = (u_0, \dots, u_d) \in S^d = \{(x_0, \dots, x_d) \in \mathbb{R}^{d+1} \mid x_0^2 + \dots + x_d^2 = 1\}$ . Também podemos escrever  $\mathbf{u}$  como  $\mathbf{u} = (u_0, w)$ ,  $w \in \mathbb{R}^d$ ,  $w = (u_1, \dots, u_d)$ .

Se  $|u_0| \neq 1$ , defina  $h^+(\mathbf{u}) = \{x \in \mathbb{R}^d \mid \langle x, w \rangle \leq u_0\}$ . Ademais, temos  $h^+(1, 0, \dots, 0) = \mathbb{R}^d$  e  $h^+(-1, 0, \dots, 0) = \emptyset$ .

Para entender a função  $h^+$ , consideremos inicialmente  $u_0 = 0$ . Temos  $w = v \in S^{d-1}$  e neste caso,  $h^+(0, v)$  é um semi-espaço que passa pela origem (veja a figura 3).

Se  $u_0 \neq 0$ ,  $\mathbf{u} = (u_0, w)$ , com  $w = \alpha v$ ,  $v \in S^{d-1}$  e  $|\alpha| < 1$ . Temos  $u_0^2 + \|w\|^2 = 1 \Rightarrow u_0^2 + \alpha^2 = 1$  e  $\langle x, w \rangle \leq u_0 \Leftrightarrow \langle x, v \rangle \leq \frac{u_0}{\sqrt{1-u_0^2}}$ . Assim, vemos que  $h^+(\mathbf{u})$  é um semi-espaço deslocado na direção de  $v$ , se  $u_0 > 0$  e na direção oposta, caso contrário (veja a figura 4). Note que  $h^+(\mathbf{u}) \rightarrow \mathbb{R}^d$ , quando  $u_0 \rightarrow 1$  e  $h^+(\mathbf{u}) \rightarrow \emptyset$ , quando  $u_0 \rightarrow -1$ , o que justifica a definição de  $h^+$  nestes casos. Aproveitamos para observar que  $h^+(\mathbf{u})$  e  $h^+(-\mathbf{u})$  são semi-espaço opostos.

Seja  $f : S^d \rightarrow \mathbb{R}^d$ , com  $f = (f_1, \dots, f_d)$  e  $f_i = \mu_i(h^+(\mathbf{u}))$ ,  $\forall i$ .

**Afirmção 1.4.**  *$f$  é contínua.*

*Demonstração.* Provaremos que para todo  $i$ ,  $\mu_i(h^+(\mathbf{u}))$  é contínua em  $\mathbf{u}$ . Suponha que  $\mathbf{u}_n \rightarrow \mathbf{u}$ , vamos provar que  $\mu_i(h^+(\mathbf{u}_n)) \rightarrow \mu_i(h^+(\mathbf{u}))$ . Para isso, escrevemos  $\mu_i(h^+(\mathbf{u}_n)) = \int \mathbb{1}_{h^+(\mathbf{u}_n)} d\mu_i$  e  $\mu_i(h^+(\mathbf{u})) = \int \mathbb{1}_{h^+(\mathbf{u})} d\mu_i$ . Como  $|\mathbb{1}_{h^+(\mathbf{u}_n)}| \leq 1 \forall n$  e  $\forall x \in \mathbb{R}^d \setminus h^+(\mathbf{u})$ ,  $\mathbb{1}_{h^+(\mathbf{u}_n)}(x) \rightarrow_n \mathbb{1}_{h^+(\mathbf{u})}(x)$ , temos que  $\mathbb{1}_{h^+(\mathbf{u}_n)} \rightarrow \mathbb{1}_{h^+(\mathbf{u})}$  quase certamente e pelo teorema da convergência dominada,  $\int \mathbb{1}_{h^+(\mathbf{u}_n)} d\mu_i \rightarrow \int \mathbb{1}_{h^+(\mathbf{u})} d\mu_i$ . Logo,  $\mu_i(h^+(\mathbf{u}_n)) \rightarrow \mu_i(h^+(\mathbf{u})) \forall i$  e  $f$  é contínua.  $\square$

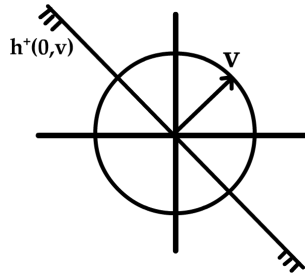


Figura 3:

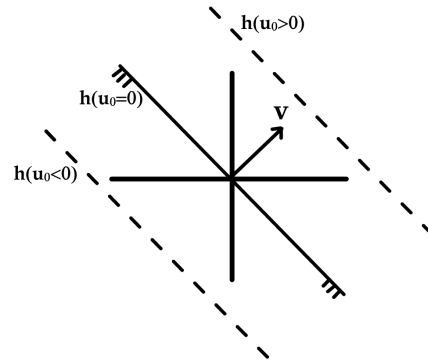


Figura 4:

Pelo teorema de Borsuk-Ulam<sup>1</sup>, existe  $\mathbf{u} \in S^d$  tal que  $f(\mathbf{u}) = f(-\mathbf{u})$ . Assim,  $f_i(\mathbf{u}) = f_i(-\mathbf{u}) \forall i \Leftrightarrow \mu_i(h^+(\mathbf{u})) = \mu_i(h^+(-\mathbf{u})) \forall i$ .

Como  $h^+(-\mathbf{u})$  é o semi-espaço oposto de  $h^+(\mathbf{u})$  e sua intersecção é um hiperplano, por hipótese com medida nula em  $\mu_i$ , para todo  $i$ , segue que  $\mu_i(h^+(\mathbf{u})) = \frac{1}{2}\mu_i(\mathbb{R}^d)$ . □

$h^{++}, h^{--}$

Para a resolução dos problemas apresentados no início dessa seção, precisamos de uma versão discreta do Teorema 1.3. Para enunciá-la, denotaremos os semi-espaço abertos definidos por um hiperplano  $h$  por  $h^{++}$  e  $h^{--}$ . Mais especificamente, se  $h = (a, b)$ , com  $a \in \mathbb{R}^d$  e  $b \in \mathbb{R}$ , definimos

$$h^{++} = \{x \in \mathbb{R}^d \mid \langle a, x \rangle > b\} \quad e \quad h^{--} = \{x \in \mathbb{R}^d \mid \langle a, x \rangle < b\}.$$

**Teorema 1.5** (Ham Sandwich discreto). *Sejam  $A_1, \dots, A_d \subset \mathbb{R}^d$  conjuntos finitos de pontos em  $\mathbb{R}^d$  com:*

1.  $A_i \cap A_j = \emptyset$  para todo  $i \neq j$ ;
2.  $\bigcup_{i=1}^d A_i$  em posição geral.

*justamente biparticionado*

*Então existe um hiperplano  $h$  em  $\mathbb{R}^d$  tal que cada  $A_i$  é justamente biparticionado por  $h$ , isto é, cada um dos semi-espaço abertos  $h^{++}$  e  $h^{--}$  contém exatamente  $\lfloor \frac{|A_i|}{2} \rfloor$  pontos (observe que  $|h \cap A_i| = 0$  se  $A_i$  for par e  $|h \cap A_i| = 1$  se  $A_i$  for ímpar.)*

*Demonstração.* Suponha inicialmente  $|A_i|$  ímpar para todo  $i$ . Para cada  $A_i$ , considere  $A_i^\epsilon = \{x \in \mathbb{R}^d \mid d(x, A_i) \leq \epsilon\}$ , com  $\epsilon$  pequeno o suficiente para  $A_i^\epsilon$  ser uma união de bolas disjuntas de raio  $\epsilon$ .

Definida a medida  $\mu_i$ , fazendo  $\mu_i(X) = \lambda^{(d)}(X \cap A_i^\epsilon)$ . Usando o teorema 1.3, obtemos um hiperplano  $h$  que divide igualmente esses conjuntos.

Fixado  $A_i$ ,  $\mu_i(h^+(A_i^\epsilon)) = \frac{1}{2}\mu_i(A_i^\epsilon)$ . Segue que  $h \cap A_i^\epsilon \neq \emptyset$  (caso contrário, teríamos  $\lfloor \frac{|A_i|}{2} \rfloor + 1$  bolas de um dos lados de  $h$ ) e  $h$  intersecta alguma bola de  $A_i^\epsilon$ . Variando  $i$ , usando a hipótese de que os pontos estão em posição geral e fazendo  $\epsilon \rightarrow 0$ , obtemos que  $h$  deve intersectar exatamente  $d$  pontos, um de cada  $A_i$  e particioná-los justamente.

<sup>1</sup>O teorema de Borsuk-Ulam foi tema de uma apresentação do PICME no semestre passado, seção 6.3 das notas de aula disponíveis em: [http://www.ime.usp.br/~tcco/picme/wp-content/uploads/2015/08/PICME\\_2015\\_1.pdf](http://www.ime.usp.br/~tcco/picme/wp-content/uploads/2015/08/PICME_2015_1.pdf).

Se  $|A_i|$  é par, fixe  $a \in A_i$  e considere  $A_i \setminus \{a\}$ . Pode-se mostrar que uma pequena perturbação de  $h$  produz o resultado desejado.  $\square$

◇ ◇ ◇

Aula 2(01 de Setembro) — Yoshiharu Kohayakawa

◇ ◇ ◇

**Observação 1.6.** Apesar da prova do Teorema 1.5 não ser construtiva, não é difícil construir algoritmicamente um tal hiperplano  $h$ . Suponha que  $|A_i|$  seja ímpar para todo  $i$ . Então existem apenas  $\prod_i |A_i|$  hiperplanos candidatos a satisfazerem as condições do Teorema, a saber, aqueles que intersectam com cada  $A_i$  em exatamente um ponto. No caso em que alguns  $A_i$  têm cardinalidade par, basta adicionar pontos artificiais de forma a cair no caso anterior e perturbar o hiperplano obtido de forma a biparticionar justamente as coleções originais (sem pontos extras).

*Prova do Teorema 1.1.* Por indução em  $n$ . Para  $n = 0$  não há nada a ser provado. Para  $n > 0$ , aplique o Teorema 1.5 e observe que ambas as coleções de pontos contidas em  $h^{++}$  e  $h^{--}$  satisfazem as condições do teorema e, portanto, possuem partições arco-íris por hipótese de indução. Se  $n$  for par, a união dessas duas partições já é uma partição arco-íris de  $A$ . Se  $n$  for ímpar, basta também considerar a parte formada pelos pontos contidos em  $h$ .  $\square$

*Prova (Alon) do Teorema 1.2.* No caso em que  $d = 2$ , podemos associar as pedras a pontos em um círculo e aplicar o Teorema 1.5 para obter a bipartição desejada.

curva dos momentos

No caso geral, usaremos a *curva dos momentos* de dimensão  $d$ , dada pela equação paramétrica

$$\gamma(t) = (t, t^2, \dots, t^d) \in \mathbb{R}^d, \quad t \geq 0.$$

As seguintes propriedades da curva  $\gamma$  serão suficientes para provarmos o teorema.

1. Se  $t_0, \dots, t_d \geq 0$  são todos distintos, então  $\gamma(t_0), \dots, \gamma(t_d)$  não estão em um mesmo hiperplano.

*Demonstração.* Suponha o contrário e seja  $a = (a_1, \dots, a_d) \neq 0 \in \mathbb{R}^d$  e  $b \in \mathbb{R}$  tais que

$$\langle a, \gamma(t_i) \rangle = b, \quad (i = 0, \dots, d)$$

ou seja,

$$\begin{aligned} a_1 t_0 + \dots + a_d t_0^d &= b \\ a_1 t_1 + \dots + a_d t_1^d &= b \\ \vdots &= \vdots \\ a_1 t_d + \dots + a_d t_d^d &= b \end{aligned}$$

Defina o polinômio  $P(x) = -b + a_1 x + \dots + a_d x^d$ . Vemos que  $P(x)$  tem  $d + 1$  raízes distintas, da onde segue que  $P(x) = 0$ , o que contradiz a hipótese de que  $a \neq 0$ .  $\square$

2. Todo hiperplano em  $\mathbb{R}^d$  encontra a curva  $\gamma$  em no máximo  $d$  pontos.

*Demonstração.* Segue da propriedade anterior.  $\square$

Assim, se um colar tem  $n$  pedras, basta associá-las (na ordem em que aparecem no colar) a pontos  $\gamma(1), \dots, \gamma(n)$  e aplicar o Teorema 1.5.  $\square$

A seguir, vamos mostrar uma variante do Teorema 1.5 em que descartamos a hipótese dos pontos estarem em posição geral. Nesse caso, o exemplo da figura 5 mostra que infelizmente não podemos garantir a existência de um hiperplano que biparticione *justamente* cada  $A_i$ .



Figura 5: Não existe hiperplano que biparticione justamente as duas coleções de pontos acima

biparticiona  
fracamente

Seja  $A \subset \mathbb{R}^d$  um conjunto finito de pontos. Dizemos que um hiperplano  $h$  *biparticiona fracamente*  $A$  se  $|h^{++} \cap A|, |h^{--} \cap A| \leq |A|/2$ .

**Teorema 1.7.** *Sejam  $A_1, \dots, A_d \subset \mathbb{R}^d$ , com cada  $A_i$  finito. Então existe um hiperplano  $h$  que biparticiona fracamente cada um dos  $A_i$ .*

*Demonstração.* Considere  $A_i^{(\eta)}$  uma  $\eta$ -perturbação de  $A_i$ . Podemos supor que  $\cup_i A_i^{(\eta)}$  está em posição geral. Aplique o Teorema 1.5 para obter um hiperplano  $h^{(\eta)}$  dado por  $(a^{(\eta)}, b^{(\eta)})$ . Faça  $\eta \rightarrow 0$ . Como  $\|a^{(\eta)}\| = 1$  e  $|b^{(\eta)}|$  é limitado, podemos supor que  $a^{(\eta)} \rightarrow a$  e  $b^{(\eta)} \rightarrow b$ . O hiperplano  $h = (a, b)$  satisfaz as condições desejadas.  $\square$

### 1.3 Conjectura de Kneser

O seguinte resultado foi conjecturado por Kneser ('55) e demonstrado por Lovász ('78). A demonstração de Lovász faz uso do Teorema de Borsuk-Ulam e será apresentada na seção 3.

**Teorema 1.8** (Conjectura de Kneser/Teorema de Lovász). *Seja  $n > 2k - 1$  e suponha que existam conjuntos  $\mathcal{C}_1, \dots, \mathcal{C}_{n-2k+1} \in 2^{\binom{[n]}{k}}$  tais que*

$$\binom{[n]}{k} = \mathcal{C}_1 \dot{\cup} \dots \dot{\cup} \mathcal{C}_{n-2k+1}.$$

*Então existe  $i$  e conjuntos  $A, B \in \mathcal{C}_i$  tais que  $A \cap B = \emptyset$ .*

**Observação 1.9.** O resultado acima é falsa para o caso em que  $\binom{[n]}{k}$  é particionado em  $n - 2k + 2$  partes. Uma 3-coloração do grafo de Petersen é um contraexemplo para o caso em que  $n = 5$  e  $k = 2$ .

## 2 Centro de Massa e Aplicações em Geometria

◇ ◇ ◇

Aula 3(15 de Setembro) — Rodrigo Eidji Uemura Iwanaga

◇ ◇ ◇

## 2.1 Sistemas de Massas

Consideraremos sistemas de pontos no plano nos quais valores de *massa* são associados a cada ponto.

**Notação 2.1.** Um ponto  $(x, y) \in \mathbb{R}^2$  no plano associado a uma massa  $m \in \mathbb{R}$  será denotado por  $(x, y)[m]$ .

O *centro de massa* de um sistema de pontos  $\{(x_i, y_i)[m_i]\}_{i=1}^n$  é o ponto  $(x_c, y_c)[m]$ , onde

$$m = \sum_{i=1}^n m_i, \quad x_c = \frac{\sum_{i=1}^n x_i m_i}{m}, \quad y_c = \frac{\sum_{i=1}^n y_i m_i}{m}.$$

**Proposição 2.2.** O centro de massa  $G[m+n]$  de dois pontos  $A[m]$  e  $B[n]$  é tal que  $A, B$  e  $G$  são colineares e, além disso,

$$\overline{AG} \cdot m = \overline{GB} \cdot n.$$

□

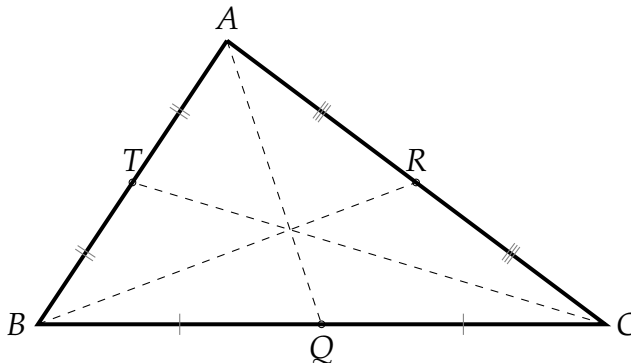
**Proposição 2.3.** Sejam  $(x_c, y_c)[m]$  o centro de massa de um sistema  $S = \{(x_i, y_i)[m_i]\}_{i=1}^n$  e  $(x'_c, y'_c)[m']$  o centro de massa de um sistema  $S' = \{(x'_i, y'_i)[m'_i]\}$ . Então o centro de massa de  $S \cup S'$  é o centro de massa de  $\{(x_c, y_c)[m], (x'_c, y'_c)[m']\}$ . □

A seguir consideraremos triângulos  $ABC$  quaisquer e denotaremos por  $a, b, c$  os comprimentos dos lados opostos aos vértices  $A, B, C$  respectivamente.

Uma *seviana* é qualquer segmento de reta que une um vértice a um ponto do lado oposto. Em particular, a *mediana* é uma seviana que une um vértice ao ponto médio do lado oposto. O *baricentro* de um triângulo é o ponto de encontro de suas três medianas.

**Lema 2.4.** O baricentro de um triângulo  $ABC$  é dado pelo centro de massa de  $A[p], B[p]$  e  $C[p]$ , onde  $p$  é um valor arbitrário de massa.

*Demonstração.* Seja  $G[3p]$  o centro de massa de  $A[p], B[p]$  e  $C[p]$  e seja  $Q, R$  e  $T$  os pontos que definem as três medianas, como abaixo.

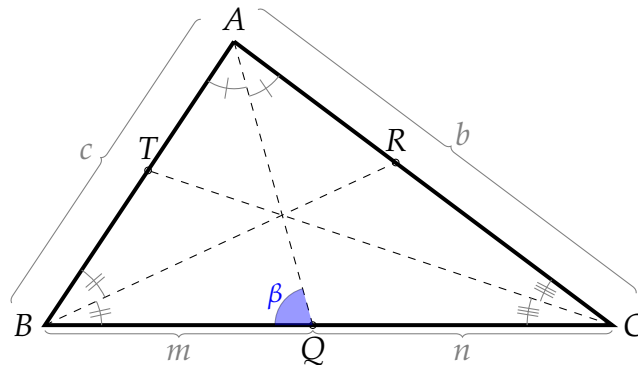


Pela Proposição 2.2, o ponto  $Q[2p]$  é o centro de massa de  $B[p]$  e  $C[p]$ . Pela Proposição 2.3,  $G[3p]$  é, também, o centro de massa de  $A[p]$  e  $Q[2p]$ , da onde segue que  $G$  está sobre a mediana  $AQ$ . De maneira simétrica, é possível concluir que  $G$  também está sobre as demais medianas e, portanto, que  $G$  é o baricentro de  $ABC$ . □

O *incentro* de um triângulo é o ponto de encontro das seivianas que bissectam cada ângulo.

**Lema 2.5.** O *incentro* de um triângulo  $ABC$  é dado pelo centro de massa dos pontos  $A[a]$ ,  $B[b]$  e  $C[c]$ .

*Demonstração.* Seja  $I[a + b + c]$  o centro de massa de  $A[a]$ ,  $B[b]$  e  $C[c]$  e sejam  $Q, R$  e  $S$  pontos que definem cada uma das bissetrizes de  $ABC$  (ver figura abaixo).

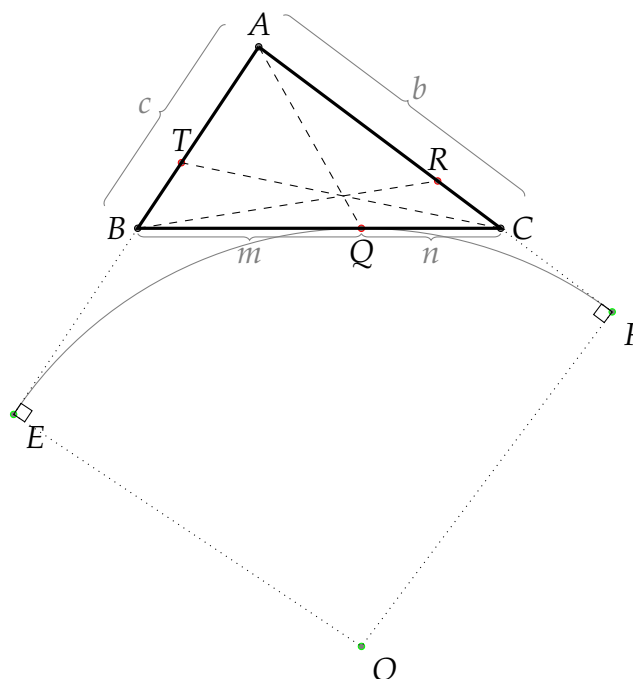


Se aplicarmos a *Lei dos Senos* aos triângulos  $ABQ$  e  $AQC$ , obtemos, respectivamente, que

$$\frac{m}{\sin \alpha} = \frac{c}{\sin \beta} \quad \text{e} \quad \frac{n}{\sin \alpha} = \frac{b}{\sin(\pi - \beta)} = \frac{b}{\sin \beta}.$$

Daí concluímos que  $mb = nc$ . Pela Proposição 2.2, o ponto  $Q[b + c]$  é o centro de massa de  $B[b]$  e  $C[c]$ . Logo  $I$  é também o centro de massa  $A[a]$  e  $Q[b + c]$  e, portanto, está contido na bissetriz  $AQ$ . Por simetria, concluímos que  $I$  também está sobre as demais bissetrizes e, é, portanto, o *incentro* de  $ABC$ .  $\square$

**(Definição ponto Nagel)**





**Lema 2.6.** O ponto de Nagel do triângulo  $ABC$  acima é dado pelo centro de massa dos pontos  $A[p - a]$ ,  $B[p - b]$  e  $C[p - c]$ , onde  $p$  é o semiperímetro de  $ABC$ .

*Demonstração.* Seja  $N$  o centro de massa definido como acima e  $\overline{AQ}$ ,  $\overline{BR}$  e  $\overline{CT}$  as seavianas que definem o ponto de Nagel.

Como  $\overline{BE} = \overline{BD} = m$  e  $\overline{CD} = \overline{CF} = n$ , devemos ter

$$c + m = \overline{AE} = \overline{AF} = b + n.$$

Substituindo  $m = a - n$ , obtemos

$$c - a - n = b + n,$$

isto é,

$$n = \frac{a - b + c}{2} = p - b.$$

De forma simular, temos  $m = p - c$ . Logo,  $Q[a]$  é o centro de massa de  $B[p - b]$  e  $C[p - c]$ . Então  $N$  também pode ser escrito como o centro de massa de  $Q[a]$  e  $A[p - a]$ , da onde segue que  $N$  está contido em  $\overline{AQ}$ . De forma análoga, é possível mostrar que  $N$  também está contido em  $\overline{CT}$  e  $\overline{BR}$ .  $\square$

**Teorema 2.7.** Sejam  $G, I, N$  o baricentro, o incentro e o ponto de Nagel (respectivamente) de um triângulo  $ABC$ . Então  $G, I, N$  são colineares e

$$\frac{\overline{NG}}{\overline{GI}} = \frac{2}{1}.$$

*Demonstração.* Pelo Lema 2.5, sabemos que  $I[2p]$  é o centro de massa do sistema  $\{A[a], B[b], C[c]\}$  e pelo Lema 2.6 que  $N[p]$  é o centro de massa do sistema  $\{A[p - a], B[p - b], C[p - c]\}$ . Logo, o centro de massa de  $I[2p]$  e  $N[p]$  é o centro de massa do sistema

$$\{A[a + p - a], B[b + p - b], C[c + p - c]\} = \{A[p], B[p], C[p]\},$$

que é o ponto  $G[3p]$ , pelo Lema 2.4. Concluimos então que  $G, I, N$  são colineares e que

$$\overline{GN} \cdot p = \overline{IG} \cdot 2p,$$

o que implica a relação desejada.  $\square$

**Teorema 2.8** (Ceva).

### 3 Conjectura de Kneser

◇ ◇ ◇

Aula 4(22 de Setembro) — Gabriel Lisboa

◇ ◇ ◇

#### 3.1 Demonstração de Lovász para Conjectura de Kneser

Veremos uma demonstração do Teorema 1.8 que faz uso do seguinte resultado de topologia que será demonstrado posteriormente.

**Teorema 3.1.** *Se a esfera  $S^d \in \mathbb{R}^d$  é coberta por conjuntos  $C_1, \dots, C_{d+1}$  abertos ou fechados, isto é, se*

$$S^d = C_1 \cup \dots \cup C_{d+1},$$

*então existe índice  $i$  e  $x \in S^d$  tais que  $x, -x \in C_i$ .*

Uma  $k$ -coloração própria de um grafo  $G$  é uma função  $c : V(G) \rightarrow \{1, 2, \dots, k\}$  tal que  $c(u) \neq c(v)$  sempre que  $\{u, v\} \in E(G)$ . O número cromático  $\chi(G)$  de  $G$  é o menor inteiro  $k$  para o qual existe uma tal  $k$ -coloração.

Sejam  $k, n$  inteiros,  $0 < k < n$ . Denotamos por  $\binom{[n]}{k}$  o conjunto de todos os subconjuntos de  $[n] := \{1, \dots, n\}$  que possuem exatamente  $k$  elementos.

O grafo de Kneser  $KG_{n,k}$  é o grafo  $G = (V, E)$ . Com

$$V = \binom{[n]}{k} \quad E = \{\{F_1, F_2\} : F_1, F_2 \in V \text{ e } F_1 \cap F_2 = \emptyset\}$$

O Teorema 1.8 pode ser reescrito da seguinte forma.

**Teorema 3.2** (Conjectura Kneser/Teorema de Lovász). *Para todo  $k > 0$  e  $n \geq 2k - 1$ , o número cromático  $\chi(KG_{n,k})$  do grafo de Kneser é  $n - 2k + 2$ .*

Para mostrar que  $\chi(KG_{n,k}) \leq n - 2k + 2$ , isto é, que é possível colorir  $KG_{n,k}$  com apenas  $n - 2k + 2$  cores, basta usar a seguinte coloração<sup>2</sup> que contém  $i$  e que ainda não foram coloridos com cores

$$c(v) = \min\{\min v, n - 2k + 2\}.$$

De fato, se

$$\chi(v_1) = \chi(v_2) = i < n - 2k + 2,$$

então  $\emptyset \neq V_1 \cap V_2 \ni i$ , o que implica  $\{v_1, v_2\} \notin E(KG_{n,k})$ . Se

$$\chi(v_1) = \chi(v_2) = n - 2k + 2,$$

então  $v_1, v_2 \in \{n - 2k + 2, \dots, n\}$ , que possui  $2k - 1$  elementos. Como  $|v_1| + |v_2| = 2k$ , pelo Princípio da Casa dos Pombos,  $v_1$  e  $v_2$  devem conter pelo menos um elemento em comum e, portanto,  $\{v_1, v_2\} \notin E(KG_{n,k})$ .

*Demonstração do Teorema 1.8 (Lovász '78).* Considere  $KG_{n,k}$  e seja  $d := n - 2k + 1$ . Seja  $X \subset S^d$  um conjunto com  $n$  pontos tais que nenhum hiperplano passando pela origem contenha mais do que  $d$  pontos de  $X$ .

**Exercício 3.3.** Mostre que, com probabilidade 1, um conjunto de  $n$  pontos escolhidos uniformemente ao acaso em  $S^d$  é uma escolha válida para  $X$ .

Vamos assumir que existe uma coloração  $c$  de  $KG_{n,k}$  com apenas  $d = n - 2k + 1$  cores. Defina conjuntos  $A_i$ ,  $1 \leq i \leq d$ , da seguinte maneira.

$$A_i = \{x \in S^d : \text{existe } y \in V(KG_{n,k}) \text{ satisfazendo } y \subset H(x) \text{ e } c(y) = i\}.$$

<sup>2</sup>equivale associar à cor  $i$  todos os vértices que contêm  $i$  e que ainda não foram coloridos com cores menores que  $i$ .

**Exercício 3.4.** Mostre que  $A_i$  é aberto.

Defina, ainda, o conjunto fechado  $A_{d+1} = S^d \setminus \bigcup_{i=1}^d A_i$ . Pelo Teorema 3.1 aplicado a  $A_1, \dots, A_{d+1}$ , existe  $i \in [d+1]$  tal que  $x, -x \in A_i$ . Dividimos o restante da demonstração em dois casos:

**Caso 1:**  $i \leq d$  Neste caso existem duas  $k$ -uplas  $y, y'$ , associadas à mesma cor  $i$  e contidas, respectivamente, em  $H(x)$  e  $H(-x)$ . Então  $y \cap y' \neq \emptyset$  e, portanto,  $\{y, y'\} \in E(KG_{n,k})$ , o que contradiz a hipótese de  $c$  ser uma coloração válida.

**Caso 2:**  $i = d+1$  Neste caso,  $H(x)$  não pode conter um conjunto  $y \in V(KG_{n,k})$  de  $k$  pontos de  $X$ , caso contrário teríamos  $x \in A_{c(i)}$ . Pelo mesmo motivo,  $H(-x) \cap X < k$ . Concluimos então que  $|S(x)| \geq n - 2k + 2 = d + 1$ , o que contradiz a hipótese inicial sobre  $X$ .

Logo, toda coloração de  $KG_{n,k}$  deve usar pelo menos  $n - 2k + 2$  cores. □

◇ ◇ ◇

Aula 5(29 de Setembro) — Yoshiharu Kohayakawa

◇ ◇ ◇

### 3.2 Prova de Bárány ('78) para Conjectura de Kneser

A demonstração do Teorema 1.8 (Conjectura de Kneser) da aula passada depende do Teorema 3.1 sobre topologia. Veremos nesta aula uma outra demonstração para o Teorema 1.8 que depende apenas do seguinte resultado de topologia, que é equivalente ao Teorema de Borsuk-Ulam.

**Teorema 3.5** (Lyusternik-Schnirelmann). *Se a esfera  $S^d \in \mathbb{R}^d$  é coberta por conjuntos  $C_1, \dots, C_{d+1}$  abertos, isto é, se*

$$S^d = C_1 \cup \dots \cup C_{d+1},$$

*então existe  $i$  e  $x \in S^d$  tais que  $x, -x \in C_i$ .*

Consideraremos hiperplanos em  $\mathbb{R}^d$  que passam pela origem. Mais especificamente, um hiperplano  $h \in \mathbb{R}^d$  e os semiespaços abertos correspondetes  $h^+$  e  $h^-$  são determinados por um um vetor  $a \in \mathbb{R}^d$  da seguinte maneira:

$$\begin{aligned} h &= \{x \in \mathbb{R}^d : \langle a, x \rangle = 0\}, \\ h^+ &= \{x \in \mathbb{R}^d : \langle a, x \rangle > 0\}, \\ h^- &= \{x \in \mathbb{R}^d : \langle a, x \rangle < 0\}. \end{aligned}$$

**Lema 3.6** (Lema de Jade ('56)). *Para quaisquer inteiros  $d \geq 0$  e  $k \geq 1$ , existe  $X \subset S^d \subset \mathbb{R}^{d+1}$ , com  $|X| = 2k + d$ , tal que para todo hiperplano  $h$  (passando pela origem) os semiespaços abertos  $h^+$  e  $h^-$  são tais que:*

$$|h^+ \cap X| \geq k \quad e \quad |h^- \cap X| \geq k.$$

*Demonstração.* Vamos construir  $V = \{v_1, \dots, v_{2k+d}\} \subset \mathbb{R}^{d+1}$  tal que para todo hiper-

plano  $h$ ,  $|h^+ \cap V|, |h^- \cap V| \geq k$ . Assim, podemos tomar  $X$  como abaixo.

$$X = \left\{ \frac{v_1}{\|v_1\|}, \dots, \frac{v_{2k+d}}{\|v_{k+d}\|} \right\}$$

Consideramos a curva dos momentos

$$\bar{\gamma}(t) = (1, t, t^2, \dots, t^d) \in \mathbb{R}^{d+1} \quad (t \in \mathbb{R}).$$

Seja  $W = \{w_1, \dots, w_{2k+d}\}$  um conjunto de pontos sobre  $\bar{\gamma}$  "em ordem". Por exemplo, podemos tomar  $w_i = \bar{\gamma}(i)$  ( $1 \leq i \leq 2k+d$ ).

Pomos  $v_i = (-1)^i w_i$ . Mostraremos a seguir que  $|h^+ \cap V|, |h^- \cap V| \geq k$ , ou, equivalentemente, que:

1.  $|\{w_i \in h^+ : i \text{ é par}\}| + |\{w_i \in h^- : i \text{ é ímpar}\}| \geq k$  e
2.  $|\{w_i \in h^- : i \text{ é par}\}| + |\{w_i \in h^+ : i \text{ é ímpar}\}| \geq k$ .

Seja  $W_{on} = W \cap h$  o conjunto dos  $w_i \in W$  que pertencem ao hiperplano  $h$ . Note que  $W_{on} \leq d$ . De fato, suponha que  $h$  seja dado pelos pontos ortogonais a  $a = (a_1, \dots, a_{d+1}) \in \mathbb{R}^d$ . Então todo  $t \in \mathbb{R}$  tal que  $\bar{\gamma}(t) \in h$  satisfaz a equação

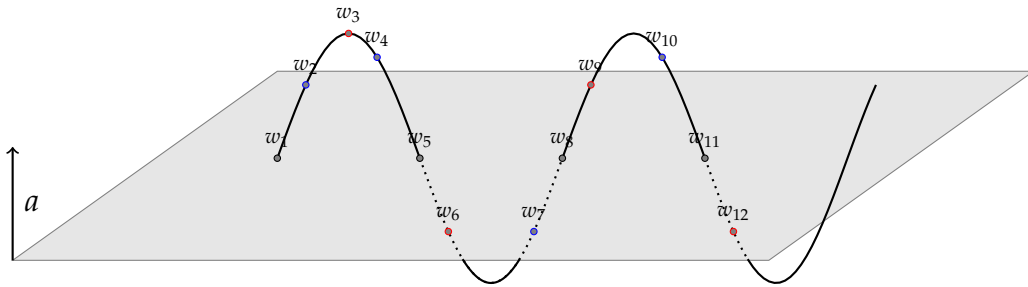
$$a_1 + a_2 t + a_3 t^2 + \dots + a_{d+1} t^d = \langle a, \bar{\gamma}(t) \rangle = 0,$$

que admite no máximo  $d$  raízes reais.

Podemos supor, sem perda de generalidade, que  $W_{on} = d$ , movendo o hiperplano  $h$  até que exatamente  $d$  pontos de  $W$  pertençam a  $h$ , e de forma a não mudar nenhum ponto de lado.

Considere o conjunto  $W_{off} = W \setminus W_{on}$ . Colorimos cada ponto  $w_i$  em  $W_{off}$  de

- **azul**, se  $i$  for par e pertencer a  $h^+$ , ou se  $i$  for ímpar e pertencer a  $h^-$ .
- **vermelho**, se  $i$  for par e pertencer a  $h^-$ , ou se  $i$  for ímpar e pertencer a  $h^+$ .



Note que ao longo de  $\bar{\gamma}$  os pontos em  $W_{off}$  estão coloridos alternadamente de azul e vermelho. Como  $|W_{off}| = 2k$ , concluímos que exatamente  $k$  pontos em  $W_{off}$  serão coloridos de azul e exatamente  $k$ , de vermelho.  $\square$

**Observação 3.7.** Não poderíamos trocar a hipótese de que  $|X| = 2k + d$  por  $|X| = 2k + d - 1$  no enunciado do Lema 3.6. Nesse caso, ao tomarmos um hiperplano  $h$  passando por quaisquer  $d$  pontos de  $X$ , restariam apenas  $2k - 1$  pontos nos espaços abertos  $h^+$  e  $h^-$  (e portanto algum deles teria  $k - 1$  pontos).

*Demonstração de Bárány para a Conjectura de 1.8.* Seja  $d = n - 2k$  e  $X \subset S^d \subset \mathbb{R}^{d+1}$  um conjunto de  $n$  pontos em  $S^d$  como no Lema de Gale. Identificamos  $[n]$  com  $X$ .

Suponha por contradição que

$$N = \binom{[n]}{k} = \mathcal{C}_1 \cup \dots \cup \mathcal{C}_{n-2k+1}$$

é tal que não existe  $A, B \in \mathcal{C}_i$  com  $A \cap B \neq \emptyset$ , isto é, que todos os  $\mathcal{C}_i$  sejam intersec-  
tantes.

Para todo  $i \in \{0, \dots, n - 2k + 1\}$ , pomos

$$A_i = \left\{ x \in S^d : H(x) \text{ contém um } S \in \binom{X}{k} \text{ com } S \in \mathcal{C}_i \right\},$$

onde  $H(x) = \{y \in \mathbb{R}^d : \langle x, y \rangle > 0\}$ . Esses  $A_i$  são abertos (*exercício*). Ademais, segue da escolha de  $X$  e do Lema de Gale que tais  $A_i$  cobrem  $S^d$ .

Logo, pelo Teorema 3.5, existe  $i$  tal que  $x, -x \in A_i$ . Isso implica a existência de conjuntos  $S, S' \in \binom{X}{k}$  coloridos, ambos, com a cor  $i$  mas contidos, respectivamente, em  $H(x)$  e  $H(-x)$  e, portanto, disjuntos.  $\square$

### 3.3 Teorema de Schrijver

Seja  $C_n$  o circuito de comprimento  $n$ , cujos vértices (na ordem em que aparecem no circuito) são os inteiros  $1, \dots, n$ . Um conjunto de vértices  $S \subset [n]$  de  $C_n$  é *estável* em  $C_n$  se não induz uma aresta.

Seja

$$\binom{[n]}{k}_{stab} = \left\{ S \in \binom{[n]}{k} : S \text{ é estável em } C_n \right\}.$$

O seguinte resultado afirma que o Conjectura de Kneser vale mesmo quando partici-  
onamos  $\binom{[n]}{k}_{stab} \subset \binom{[n]}{k}$ .

**Teorema 3.8** (Schrijver). *Seja  $n > 2k - 1$  e suponha que existam conjuntos  $\mathcal{C}_1, \dots, \mathcal{C}_{n-2k+1} \in 2^{\binom{[n]}{k}}$  tais que*

$$\binom{[n]}{k}_{stab} = \mathcal{C}_1 \dot{\cup} \dots \dot{\cup} \mathcal{C}_{n-2k+1}.$$

*Então existe  $i \in [n - 2k + 1]$  e conjuntos  $A, B \in \mathcal{C}_i$  tais que  $A \cap B = \emptyset$ .*

## 4 Ultrafiltros e o Teorema de Hindman

◇ ◇ ◇

Aula 6(13 de Outubro) — Yoshiharu Kohayakawa

◇ ◇ ◇

### 4.1 Teoria de Ramsey

Seja  $\mathbb{N} = \{1, 2, \dots\}$ .

**Teorema 4.1** (Teorema de Ramsey, versão infinita). *Sejam  $k, r \geq 1$  e  $\mathcal{C}_1, \dots, \mathcal{C}_r \subseteq \binom{\mathbb{N}}{k}$*

conjuntos tais que

$$\binom{\mathbb{N}}{k} = C_1 \cup \dots \cup C_r.$$

Então existe índice  $i$  e conjunto  $A \subset \mathbb{N}$ , com  $|A| = \infty$  tais que

$$\binom{A}{k} \subseteq C_i.$$

*Demonstração.* Se  $k = 1$ , a afirmação é verdadeira, uma vez que se podemos identificar  $\binom{\mathbb{N}}{1}$  por  $\mathbb{N}$ . Logo, se  $C_1, \dots, C_r$  são tais que  $\mathbb{N} = C_1 \cup \dots \cup C_r$ , então algum  $C_i$  deve ter tamanho infinito.

Suponha  $k, r \geq 2$  e que a afirmação é verdadeira para valores menores de  $k$ .

Seja

$$\binom{\mathbb{N}}{k} = C_1 \cup \dots \cup C_r.$$

Construiremos uma sequência infinita  $x_1 < x_2 < \dots$  tal que para todo conjunto  $K = \{x_{i_1}, \dots, x_{i_{k-1}}\}$  ( $i_1 < \dots < i_{k-1}$ ), existe índice  $1 \leq j_K \leq r$  tal que

$$\forall i_k > i_{k-1} \text{ temos: } K \cup \{x_{i_k}\} \subset C_{j_K}.$$

Suponha que já definimos  $x_1 < x_2 < \dots < x_t$  e conjunto  $Y_t \subset \mathbb{N}$  infinito, com  $Y_t > x_t$ , tais que: para todo  $K \subset \{x_1, \dots, x_t\}$ ,  $|K| = k - 1$ , existe  $j_K$  tal que todo  $y \in Y_t$  satisfaz

$$K \cup \{y\} \in C_{j_K}.$$

Vamos definir agora  $x_{t+1}$  e  $Y_{t+1}$ . Pomos  $x_{t+1} = \min Y_t$  e  $Y' = Y_t \setminus \{x_{t+1}\}$ . Seja  $\Pi = [r]^{\binom{x_1, \dots, x_t}{k-2}}$  o conjunto de funções que associam índices em  $[r]$  a subconjuntos de  $\{x_1, \dots, x_t\}$  de tamanho  $k - 2$ . Considere a seguinte partição de  $Y'$ :

$$Y' = \bigcup_{\pi \in \Pi} D_\pi,$$

onde

$$D_\pi = \{y \in Y' : \forall J \in \binom{x_1, \dots, x_t}{k-2}, J \cup \{x_{t+1}, y\} \in C_{\pi(J)}\}.$$

Como  $Y'$  é infinito, deve existir  $\pi \in \Pi$  tal que  $D_\pi$  é infinito. Tomamos  $Y_{t+1} = D_\pi$ .

Observe agora que  $\{x_1, \dots, x_{t+1}\}$  e  $Y_{t+1}$  satisfazem a mesma condição que antes tínhamos para  $\{x_1, \dots, x_t\}$  e  $Y_{t+1}$ , de forma que podemos aplicar esse processo indefinidamente. A sequência  $x_1 < x_2 < \dots$  construída assim é como queríamos.

Podemos agora particionar  $\binom{\{x_1, x_2, \dots\}}{k-1}$  de acordo com o índice  $j_K$  associado, isto é, temos que

$$\binom{\{x_1, x_2, \dots\}}{k-1} = C'_1 \cup \dots \cup C'_r,$$

onde, para todo  $j \in [r]$ ,

$$C'_j = \{K \in \binom{\{x_1, x_2, \dots\}}{k-1} : j_K = j\}.$$

Aplicando o caso  $k - 1$  do teorema de Ramsey para  $\{x_1, x_2, \dots\}$ , temos que existe um conjunto infinito  $A \subseteq \{x_1, x_2, \dots\}$  e um índice  $j$  tal que todo  $K \in \binom{A}{k-1}$  está contido em  $C'_j$ . Segue da definição de  $C'_j$  que todo  $L \in \binom{A}{k} \in C_j$ , como desejado.  $\square$

◇ ◇ ◇

Aula 7(20 de Outubro) — Yoshiharu Kohayakawa

◇ ◇ ◇

## 4.2 Ultrafiltros

Nesta seção,  $X$  será um conjunto, geralmente infinito, como o conjunto dos naturais  $\mathbb{N} = \{1, 2, \dots\}$ . Se  $A$  é um subconjunto de  $X$ , denotaremos  $X \setminus A$  por  $A^c$ .

Uma coleção  $\mathcal{F} \subseteq 2^X$  é um *filtro* sobre  $X$  se

1.  $\emptyset \notin \mathcal{F}, X \in \mathcal{F}$ ;
2.  $\mathcal{F}$  é fechado por superconjuntos, isto é, se  $A \subseteq B$  e  $A \in \mathcal{F}$ , então  $B \in \mathcal{F}$ ;
3.  $\mathcal{F}$  é fechado por intersecções, isto é, se  $A, B \in \mathcal{F}$ , então  $A \cap B \in \mathcal{F}$ .

Dizemos que um filtro  $\mathcal{F}$  é um *ultrafiltro* se a seguinte condição extra for satisfeita:

- 4 Para todo  $A \subseteq X$ ,  $A$  ou  $A^c$  pertence a  $\mathcal{F}$ .

**Observação 4.2.** Ultrafiltros  $\mathcal{U}$  podem ser pensados como uma classificação dos subconjuntos de  $X$  em duas categorias: conjuntos *grandes* (membros de  $\mathcal{U}$ ) e conjuntos *pequenos* (fora de  $\mathcal{U}$ ).

Ultrafiltros podem também ser definidos como uma medida aditiva tomando apenas os valores 0 ou 1. Isto é, se  $\mathcal{U}$  é um ultrafiltro, então podemos definir a medida

$$m_{\mathcal{U}} : 2^X \rightarrow \{0, 1\}$$

$$A \mapsto \begin{cases} 0, & \text{se } A \in \mathcal{U}; \\ 1, & \text{se } A \notin \mathcal{U}. \end{cases}$$

A medida  $m_{\mathcal{U}}$  é aditiva, isto é, se  $A, B \subset X$  e  $A \cap B = \emptyset$ , então

$$m_{\mathcal{U}}(A \cup B) = m_{\mathcal{U}}(A) + m_{\mathcal{U}}(B).$$

Para verificar essa igualdade, notamos que a condição 4.2 da definição de ultrafiltros pode ser trocada pela seguinte:

- 4' Se  $C \in \mathcal{F}$  e  $C = A \cup B$ , então  $A \in \mathcal{F}$  ou  $B \in \mathcal{F}$ .

De fato, se  $A \notin \mathcal{F}$  e  $B \notin \mathcal{F}$ , então a condição 4.2 implica que  $A^c \in \mathcal{F}$  e  $B^c \in \mathcal{F}$ , da onde segue que  $C^c = A^c \cap B^c \in \mathcal{F}$ , e, novamente pela condição 4.2, que  $C \notin \mathcal{F}$ .

As seguintes famílias são exemplos de filtros.

- $\mathcal{F} = \{X\}$  (filtro trivial).
- $\emptyset \neq Y \subset X, \mathcal{F}_Y = \{A \subseteq X : Y \subseteq A\}$ .
- $\mathcal{F}_{\text{cofin}} = \{A \subseteq X : A^c \text{ é finito}\}$  (filtro de Frechet).

Dado  $x \in X$ , a família

$$\mathcal{F}_x = \mathcal{F}_{\{x\}} = \{A \subseteq X : x \in A\}$$

é um exemplo de ultrafiltro. Ultrafiltros dessa forma, são chamados de *ultrafiltros principais*.

Dizemos que um filtro  $\mathcal{F}$  é *maximal* se

$$\mathcal{F} \subseteq \mathcal{F}' \text{ e } \mathcal{F}' \text{ é filtro} \Rightarrow \mathcal{F} = \mathcal{F}'.$$

**Fato 4.3.** Seja  $\mathcal{F} \subseteq 2^X$  um filtro. Então  $\mathcal{F}$  é um ultrafiltro se, e somente se,  $\mathcal{F}$  é um filtro maximal.

*Demonstração.* Se  $\mathcal{F}$  é ultrafiltro e  $A \notin \mathcal{F}$ , então  $A^c \in \mathcal{F}$  e, portanto,  $\mathcal{F} \cup A$  não pode ser ul ultrafiltro.

Para provar a recíproca, suponha que  $\mathcal{F}$  tal que  $A, A^c \notin \mathcal{F}$  para algum  $A \subseteq \mathcal{F}$ . Então condidere o filtro  $\mathcal{F}'$  gerado por  $\mathcal{F} \cup \{A\}$ , isto é, formado por conjuntos em  $\mathcal{F}$  e por  $A$  e fechado por interseção finita e por superconjuntos.  $\square$

**Observação 4.4.** Se  $|X| < \infty$ , então os ultrafiltros sobre  $X$  são todos da forma  $\mathcal{F}_x$ .

**Observação 4.5.** Suponha  $X$  infinito e  $\mathcal{U}$  um ultrafiltro sobre  $X$  *não-principal*, isto é,  $\mathcal{U} \neq \mathcal{F}_x$ , para todo  $x \in X$ . Então  $\mathcal{U} \supseteq \mathcal{F}_{\text{cofin}}$ .

**Teorema 4.6.** *Seja  $X$  um conjunto, com  $|X| = \infty$ . Então existem ultrafiltros não principais sobre  $X$*

*Demonstração.* Seja  $\mathbb{F} = \{\text{filtros } \mathcal{F} \subseteq 2^X : \mathcal{F} \supseteq \mathcal{F}_{\text{cofin}}\}$ . Note que  $\mathbb{F}$  é parcialmente ordenado por inclusão. Usamos o Lema de Zorn para provar que  $\mathbb{F}$  contém um elemento maximal  $\mathcal{F}^*$ . Tal  $\mathcal{F}^*$  é um ultrafiltro (Fato 4.3).

Fixe uma cadeia arbitrária  $(\mathcal{F}_\lambda)_{\lambda \in \Lambda}$  em  $\mathbb{F}$ , isto é, um conjunto totalmente ordenado (por inclusão). Para que possamos aplicar o Lema de Zorn, precisamos mostrar que existe um  $F_0 \in \mathbb{F}$  tal que para todo  $\lambda$ ,  $\mathcal{F}_\lambda \subseteq F_0$ . Basta tomar  $\mathcal{F}_0 = \bigcup_{\lambda \in \Lambda} \mathcal{F}_\lambda$  e notar que  $\mathcal{F}_0$  é um filtro e contém  $\mathcal{F}_{\text{cofin}}$ .

Logo, pelo Lema de Zorn,  $\mathbb{F}$  tem um elemento maximal  $\mathcal{F}^*$ . Tal  $\mathcal{F}^*$  é um ultrafiltro (Fato 4.3) não-principal (pois contém  $\mathcal{F}_{\text{cofin}}$ ).  $\square$

### 4.3 Ultrafiltros e topologia

Seja  $a_1, a_2, \dots \in [0, 1]$ . Dizemos que  $\lim a_n = L$  se para todo  $\varepsilon > 0$ , existe inteiro  $n_0$  tal que para todo  $n > n_0$ ,  $a_n \in (L - \varepsilon, L + \varepsilon)$ .

Seja  $A_\varepsilon = \{n : n \geq n_0\}$ . Então  $A_\varepsilon \in \mathcal{F}_{\text{cofin}}$ , onde  $\mathcal{F}_{\text{cofin}}$  é o filtro dos elementos cofinitos sobre  $\mathbb{N}$ . Filtros podem ser usados para generalizar o conceito de limites de sequências. No que se segue, sequências em um conjunto  $Y$  serão representadas como funções  $f : \mathbb{N} \rightarrow Y$  (isto é  $a_n = f(n)$ ).

**Fato 4.7.** Seja  $Y$  um conjunto e  $f : \mathbb{N} \rightarrow Y$ . Suponha que  $\mathcal{F}$  seja um filtro/ultrafiltro sobre  $\mathbb{N}$ . Defina

$$f * (\mathcal{F}) = \{A \subseteq Y : f^{-1}(A) \in \mathcal{F}\}.$$



Então  $f^*(\mathcal{F})$  é um filtro/ultrafiltro sobre  $Y$ .

Seja  $\mathcal{F}$  um filtro sobre um espaço topológico  $Y$ . Dizemos que  $\mathcal{F}$  converge a um ponto  $y \in Y$  se todo aberto  $\mathcal{U}$  em  $Y$  com  $y \in \mathcal{U}$  é um membro de  $\mathcal{F}$ .

Seja  $Y$  um espaço topológico,  $f : \mathbb{N} \rightarrow Y$  e  $\mathcal{F}$  um filtro sobre  $\mathbb{N}$ . Então  $y \in Y$  é um  $\mathcal{F}$ -limite de  $f$  se  $f_*(\mathcal{F})$  converge para  $y$ .

**Pendente: Resto da aula**

◇ ◇ ◇

Aula 8(03 de Novembro) — Yoshiharu Kohayakawa

◇ ◇ ◇

## 4.4 Teorema de Hindman

**Definição 4.8** (semigrupo). Um semigrupo é um par  $(E, \cdot)$  em que  $E$  é um conjunto e  $\cdot : E \times E \rightarrow E$  é uma operação associativa, isto é, tal que para quaisquer  $a, b \in E$ , temos:

$$a \cdot (b \cdot c) = (a \cdot b) \cdot c.$$

**Lema 4.9** (Elemento idempotente em semigrupos). *Seja  $E$  um semigrupo Hausdorff-compacto tal que para todo  $g \in E$ , a função*

$$\begin{aligned} \Psi_g : E &\rightarrow E \\ f &\mapsto fg \end{aligned}$$

*é contínua. Então existe  $E$  contém um elemento  $g$  indepotente, isto é, tal que  $g^2 = g$ .*

*Demonstração.* Defina

$$\mathcal{A} = \{\emptyset \neq A \subseteq E : A \text{ é compacto e fechado por } \cdot\}.$$

Como  $E \in \mathcal{A}$ , temos  $\mathcal{A} \neq \emptyset$ . Seja  $\mathcal{C} \subset \mathcal{A}$  uma cadeia (pela operação de inclusão). Seja  $L = \bigcap \mathcal{C}$ . Note que  $L$  é não vazio, compacto (pois todos os membros de  $\mathcal{C}$  também o são), e fechado pelo produto. Logo  $L \in \mathcal{A}$ , isto é,  $\mathcal{C}$  tem um limitante inferior. Podemos portanto aplicar o Lema de Zorn para concluir que existe um membro minimal  $A \in \mathcal{A}$ .

Fixe  $g \in A$ . Então  $\emptyset \neq Ag \subseteq A$ . Ademais,  $Ag$  é subsemigrupo de  $A$ , uma vez que

$$(fg)(f'g) = \underbrace{fgf'}_{\in A}g \in Ag,$$

e  $Ag$  é compacto pois  $Ag = \Psi_g(A)$  e  $\Psi_g$  é contínua. Assim, a minimalidade de  $A$  implica  $Ag = A$ . Seja

$$B = \{f \in A : fg = g\}.$$

Então  $B \neq \emptyset$ , uma vez que  $g \in A = Ag$ . Note que  $B$  também é semigrupo pois se  $f, f' \in B$ , então

$$(ff')g = f(f'g) = fg = g.$$

Ademais,  $B = \Psi_g(\{g\})$ , também temos que  $B$  é fechado e, portanto, compacto. Pela minimalidade de  $A$ , segue que  $A = B$ . Mas como  $g \in A$ , temos  $g \in B$ , isto é,  $g$  é idempotente.  $\square$

Para a prova do Teorema de Hindman, consideraremos o conjunto  $\beta\mathbb{N}$  de ultrafil-

tros sobre  $\mathbb{N}$  e denotaremos ultrafiltros como medidas 0 – 1 aditivas.

Dados  $\mu, \nu \in \beta\mathbb{N}$ , a operação de adição  $+$  :  $\beta\mathbb{N} \times \beta\mathbb{N} \rightarrow \beta\mathbb{N}$  de adição (cuja existência foi provada em ??) é dada por

$$(\mu + \nu)(A) = \mu(\{n : \nu(A - n) = 1\}).$$

Note também

**Teorema 4.10** (Hindman). *Seja  $k \geq 1$  e suponha que existem conjuntos disjuntos  $C_1, \dots, C_k \subset \mathbb{N} = \{1, 2, \dots\}$  tais que*

$$\mathbb{N} = C_1 \cup \dots \cup C_k.$$

*Então existe  $i$  e  $X \subseteq C_i$ ,  $|X| = \infty$ , tal que  $FS(X) \subseteq C_i$ , onde*

$$FS(X) = \left\{ \sum_{x \in S} x : S \subseteq X, S \text{ finito} \right\}.$$

*Demonstração.* Primeiro, observamos que  $(\beta\mathbb{N}, +)$  é um semigrupo e que a função

$$\begin{aligned} \Psi_\eta : \beta\mathbb{N} &\rightarrow \beta\mathbb{N} \\ \mu &\rightarrow \mu + \nu \end{aligned}$$

é contínua para todo  $\nu$ .

Então pelo Lema 4.9, existe  $\mu \in \beta\mathbb{N}$  tal que  $\mu + \mu = \mu$ . Ademais,  $\mu$  é não-principal, caso contrário teríamos  $\mu = \hat{n}$ ,  $\mu + \mu = 2\hat{n} \neq \mu$ .

Sejam  $A \subset \mathbb{N}$  tal que  $\mu(A) = 1$  e  $A^* = \{n : \mu(A - n) = 1\}$ . Então

$$\mu(A^*) = (\mu + \mu)(A) = \mu(A) = 1.$$

Fixe  $a \in A \cap A^*$  e tome  $B = (A - a) \cap (A \setminus \{a\})$ . Temos  $\mu(B) = 1$  e  $B \subseteq A$ .

Logo, a partir de um conjunto  $A$ , com  $\mu(A) = 1$ , obtivemos  $a \in A$  e  $B \subset A \setminus \{a\}$ , com  $\mu(B) = 1$ , tais que

$$a + B \subset A.$$

Suponha agora que  $\mathbb{N} = C_1 \cup \dots \cup C_k$ . Então existe um único  $i$  tal que  $\mu(C_i) = 1$ . Seja  $A_1 = C_i$  e para todo  $k \geq 1$ , construímos  $a_k \in A_k$  e  $A_{k+1} \subset A_k \setminus \{a_k\}$  como acima, isto é, tais que

$$a_k + A_{k+1} \subseteq A_k \subseteq C_i.$$

Agora basta notar que se tomarmos  $X = \{a_1, a_2, \dots\}$ , temos  $FS(X) \subseteq C_i$ .  $\square$

## 5 O teorema de Fermat sobre a soma de dois quadrados

◇ ◇ ◇

Aula 9(03 de Novembro) — Bruno Pasqualotto Cavalari

◇ ◇ ◇

Dizemos que um inteiro  $n \geq 0$  é *representável* se pode ser escrito como soma de dois quadrados, isto é, se existem inteiros  $x, y$  tais que  $n = x^2 + y^2$ .

**Teorema 5.1** (Teorema de Fermat sobre a soma de quadrados). *Um primo  $p > 2$  é representável se e somente se  $p \equiv 1 \pmod{4}$ .*

Pendente: parte inicial (do dia 03/11)

◇ ◇ ◇

Aula 10(10 de Novembro) — Bruno Pasqualotto Cavalari

◇ ◇ ◇

**Corolário 5.2.** Um inteiro  $n \geq 0$  é representável se, e somente se, todo primo da forma  $4m + 3$  aparece com expoente par na decomposição de  $n$ .

*Demonstração.* Usaremos os seguintes fatos:

- i) 1 e 2 são representáveis.
- ii) Se  $n$  é representável, então  $z^2n$  é representável para qualquer inteiro  $n$ . De fato, se  $n = a^2 + b^2$ , então  $z^2n = (za)^2 + (zb)^2$ .
- iii) Se  $x$  e  $y$  são representáveis, então  $xy$  é representável. De fato, suponha que  $x = a^2 + b^2$  e  $y = c^2 + d^2$ . Então

$$\begin{aligned} xy &= a^2c^2 + a^2d^2 + b^2c^2 + b^2d^2 \\ &= a^2c^2 - 2abcd + b^2d^2 + a^2d^2 + 2abcd + b^2c^2 \\ &= (ad - bc)^2 + (ac + bd)^2. \end{aligned}$$

Seja  $n$  um inteiro tal que todo primo da forma  $4m + 3$  aparece com expoente par na decomposição de  $n$ . Então, como os demais fatores primos são representáveis pelo Teorema 5.1, segue dos fatos acima que  $n$  é representável.

Por outro lado, seja  $p$  um primo da forma  $p = 4m + 3$ , tal que  $p|n$  e  $n = x^2 + y^2$ . Afirmamos que  $p|x$  e  $p|y$ . De fato, temos  $x^2 + y^2 \equiv 0 \pmod{p}$ . Mas se  $x \not\equiv 0 \pmod{p}$ , podemos multiplicar ambos os lados da equação anterior por  $x^{-2}$  para obter que  $(x^{-1}y)^2 \equiv -1 \pmod{p}$ , que não tem soluções quando  $p = 4m + 3$ . Então,  $p|x$  e, analogamente,  $p|y$ , o que implica  $p^2|n$ . Logo,  $\frac{n}{p^2} = \left(\frac{x}{p}\right)^2 + \left(\frac{y}{p}\right)^2$  também é representável. Segue, por indução, que  $p$  aparece com expoente par em  $\frac{n}{p^2}$  e, portanto, também em  $n$ .  $\square$

Seja  $A$  um conjunto. Uma função  $f : A \rightarrow A$  é uma *involução* se  $f = f^{-1}$ .

**Fato 5.3.** Seja  $A$  finito e  $f : A \rightarrow A$  uma involução. Então

$$|A| \equiv |\{x : f(x) = x\}| \pmod{2},$$

isto é,  $|A|$  tem a mesma paridade que o número de pontos fixos de  $f$ .

*Demonstração.* Para  $x, y \in A$ , dizemos que  $x \sim y \Leftrightarrow x = f(y)$ . Particione  $A$  de acordo com as classes definidas por  $\sim$ <sup>3</sup> Como  $f$  é uma involução, cada classe é composta por um ou por dois elementos. As classes de tamanho 1 são, exatamente, os pontos fixos de  $f$ .  $\square$

*Prova do Teorema 5.1.* Suponha que  $p \equiv 1 \pmod{4}$  seja um primo. Definimos os seguin-

<sup>3</sup>TODO:não é bem uma classe de equivalência

tes três conjuntos de triplas de inteiros:

$$S = \{(x, y, z) \in \mathbb{Z}^3 : 4xy + z^2 = p, x > 0, y > 0\},$$

$$T = \{(x, y, z) \in S : z > 0\} \text{ e}$$

$$U = \{(x, y, z) \in S : x - y + z > 0\}.$$

Considere a função

$$f : S \rightarrow S$$

$$(x, y, z) \mapsto (y, x, -z).$$

Primeiro note que  $f$  é uma involução e está bem definida pois  $4xy + z^2 = 4(yx) + (-z)^2$ . Ademais,  $f$  não tem pontos fixos, caso contrário teríamos  $z = 0$  o que implicaria  $p \equiv 0 \pmod{4}$ . Note também que

- i) Se  $(x, y, z) \in T$ , então  $f(x, y, z) \in S \setminus T$ . Analogamente, se  $(x, y, z) \in S \setminus T$ , então  $f(x, y, z) \in T$  (lembrando que  $z \neq 0$ ).
- ii) Se  $(x, y, z) \in U$ , então  $f(x, y, z) \in S \setminus U$ , pois se  $x - y + z = z - (y - x) > 0$ , então  $(y - x) - z < 0$ . Analogamente, se  $(x, y, z) \in S \setminus U$ , então  $f(x, y, z) \in U$  (note que  $x - y + z \neq 0$ , caso contrário teríamos  $p = (y - x)^2 + 4xy = (y + x)^2$ ).

Concluimos, então, que  $f(U \setminus T) = f(T \setminus U)$ . Segue que  $|U \setminus T| = |T \setminus U|$ , e portanto, que  $|U| = |T|$ .

Considere agora a função

$$g : U \rightarrow U$$

$$(x, y, z) \mapsto (x - y + z, y, 2y - z)$$

Observe que  $g$  está bem definida pois  $4(x - y + z)y + (2y - z)^2 = 4xy + z^2$  e  $(x - y + z) - y + (2y - z) = x > 0$ .

Além disso,  $(x, y, z)$  é um ponto fixo de  $g$  se, e somente se,  $y = z$ . Mas neste caso, devemos ter  $y(4x + y) = 4xy + y^2 = p$ , o que implica que  $y = 1$  e  $4x + 1 = p$ . Logo  $(\frac{p-1}{4}, 1, 1)$  é o *único* ponto fixo de  $g$ . Concluimos que  $|U|$  é ímpar (e, portanto,  $|T|$  é ímpar).

Finalmente, considere a função

$$h : T \rightarrow T$$

$$(x, y, z) \mapsto (y, x, z)$$

Note que  $h$  está bem definido e é uma involução. Mas como  $|T|$  é ímpar,  $h$  tem pelo menos um ponto fixo. Existem portanto  $x, z \in \mathbb{Z}$  tais que  $4x^2 + z^2 = p$ , da onde segue que  $p$  é representável.  $\square$

## 6 Provas da infinidade de primos

pendente

## 7 Teorema de Hoffman e Singleton

A *cintura*  $g(G)$  de um grafo  $G$  é o tamanho do menor ciclo do grafo. Também definiremos o *grau mínimo*  $\delta(G)$  de  $G$  como o menor grau de um vértice em  $G$ .

Dados inteiros  $r$  e  $g$ , estamos interessados em determinar o menor número de vértices que um grafo  $G$  de grau mínimo  $r$  e cintura  $g$  pode ter. Denotaremos esse número por  $n(r, g)$ . Mais formalmente, podemos definir

$$n(r, g) = \min\{|V(G)| : \delta(G) = r \text{ e } g(G) = g\}.$$

É fácil verificar, por exemplo, que

- $n(2, 5) = 5$  (o ciclo de tamanho 5 atinge o mínimo),
- $n(3, 3) = 4$  (o grafo completo  $K^4$  atinge o mínimo) e
- $n(3, 4) = 6$  (o grafo bipartido  $K_{3,3}$  atinge o mínimo).

**Proposição 7.1.** *Se  $g = 2k + 1$ , então*

$$n(r, g) \geq 1 + r + r(r - 1) + \cdots + r(r - 1)^{k-1}.$$

*Demonstração.* Seja  $G$  um grafo tal que  $\delta(G) = r$  e  $g(G) = g$ . Considere uma árvore de busca em largura a partir de um vértice arbitrário  $v$  de  $G$ . Como  $\delta(G) = r$ , o primeiro nível tem pelo menos  $r$  vértices e, para  $i \geq 1$ , o  $i$ -ésimo nível tem pelo menos  $r(r - 1)^{i-1}$  vértices. Ademais, os vértices que aparecem até o nível  $k$  são todos distintos, caso contrário haveria dois caminhos distintos de tamanho no máximo  $k$  de um mesmo vértice  $u$  até  $v$ , ou seja, um ciclo de tamanho menor que  $2k + 1$ .  $\square$

**Proposição 7.2.** *Se  $g = 2k$ , então*

$$n(r, g) \geq 1 + r + r(r - 1) + \cdots + r(r - 1)^{k-2} + (r - 1)^{k-1}.$$

*Demonstração.* Seja  $G$  um grafo tal que  $\delta(G) = r$  e  $g(G) = g$ . Procedemos como no caso anterior, considerando uma árvore em busca em largura a partir de um vértice arbitrário  $v$ . Temos que levar em consideração que um vértice  $u$  no nível  $k$  pode aparecer múltiplas vezes. Note, contudo, que  $u$  não pode ser adjacente a mais do que  $r$  vértices do nível  $k - 1$  (caso contrário haveria caminhos distintos de tamanho  $k - 1$  de  $u$  a um vizinho de  $v$ ). Portanto há pelo menos  $(r - 1)^{k-1}$  vértices distintos no  $k$ -ésimo nível.  $\square$

**Exercício 7.3.** Provar a proposição anterior, considerando uma árvore de busca em largura a partir de um vértice artificial  $v \notin V(G)$  adjacente a dois vértices  $v_1, v_2 \in V(G)$  com  $v_1v_2 \in E(G)$  (note que a cota inferior da proposição é igual a  $2 \sum_{i=0}^{k-1} (r - 1)^i$ ).

Nesta seção, estamos interessados em demonstrar o seguinte resultado.

**Teorema 7.4.** *Seja  $r \geq 3$  e suponha que exista um grafo  $G$  de tamanho  $n = 1 + r + r(r - 1) = r^2 + 1$ , cintura  $g(G) = 5$  e grau mínimo  $\delta(G) = r$ . Então  $r = 3, 5$  ou  $57$ .*

Dizemos que  $\lambda \in \mathbb{R}$  é um *autovalor* de uma matriz  $A \in \mathbb{R}^{n \times n}$  se existe  $x \in \mathbb{R}^n$ ,  $x \neq 0$ , tal que  $Ax = \lambda x$ . Nesse caso, dizemos que  $x$  é um *autovetor* associado a  $\lambda$ . O *autoespaço* associado a  $\lambda$  é o conjunto de todos os autovetores associados a  $\lambda$ .

**Exercício 7.5.** Mostrar que o autoespaço associado a um autovalor  $\lambda$  é, de fato, um espaço linear.

**Lema 7.6.** Toda matriz simétrica  $A \in \mathbb{R}^{n \times n}$  possui  $n$  autovetores dois a dois ortogonais.

*Demonstração.* Primeiro note que quaisquer  $x, y \in \mathbb{R}^n$  satisfazem  $\langle Ax, y \rangle = \langle x, Ay \rangle$ . De fato,

$$\langle Ax, y \rangle = (Ax)^T y = x^T A^T y = x^T Ay = \langle x, Ay \rangle.$$

Sejam  $v_1, v_2$  autovetores de  $A$  associados a autovalores distintos  $\lambda$  e  $\mu$ , respectivamente. Então

$$\lambda \langle v_1, v_2 \rangle = \langle \lambda v_1, v_2 \rangle = \langle Av_1, v_2 \rangle = \langle v_1, Av_2 \rangle = \langle v_1, \mu v_2 \rangle = \mu \langle v_1, v_2 \rangle.$$

Logo,  $(\lambda - \mu) \langle v_1, v_2 \rangle = 0$ , da onde segue que  $\langle v_1, v_2 \rangle = 0$ .

Considere  $\{u_1, \dots, u_\ell\}$  uma base do autoespaço associado a um autovalor  $\lambda$ . Usando o processo de ortogonalização de Gram-Schmidt, conseguimos uma base ortogonal  $\{u'_1, \dots, u'_\ell\}$  exercicio do autoespaço associado a  $\lambda$ .

Talvez faltaria falar que a soma das dimensões desses autoespaços é  $n$ ? □